

## Operationsverstärker



TAA 761; A; G; GG; K; W  
TAA 762  
TAA 765; A; G; GG; W

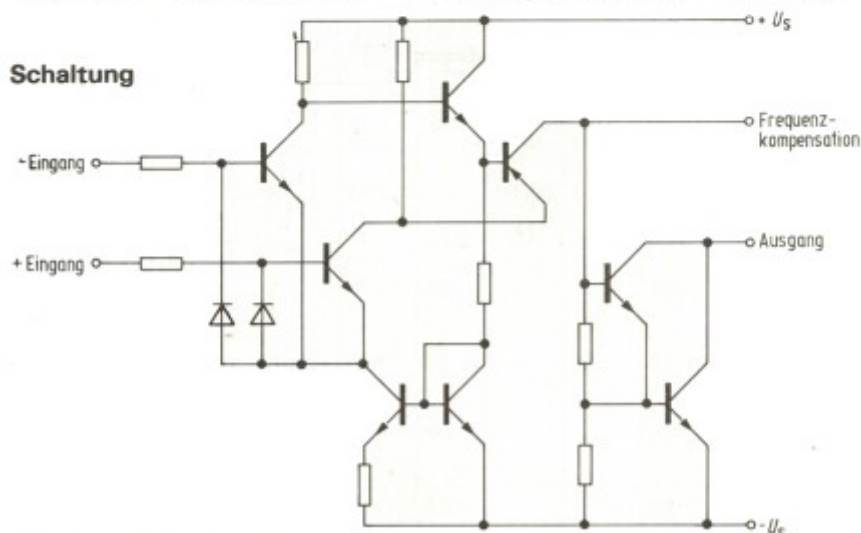
Besonders wirtschaftliche und vielseitige Operationsverstärker, die sich aufgrund ihrer guten Eigenschaften für ein sehr weites Anwendungsgebiet eignen, wie z. B. Regelungstechnik, Autoelektrik, NF-Schaltungen, Analog-Rechnertechnik etc.

Neben hoher Verstärkung, großem Eingangswiderstand, kleiner Nullspannung, geringer Temperatur- und Versorgungsspannungsabhängigkeit zeichnen sich die Verstärker besonders aus durch:

- Hohen Gleichtaktbereich
- Großen Versorgungsspannungsbereich
- Große Aussteuerbarkeit
- Großen Temperaturbereich (TAA 762)
- Großen Ausgangsstrom
- Einfache Frequenzkompensation

Auf Anfrage ist der TAA 761 S mit einem  $I_Q < 250$  mA lieferbar.

Typ	Bestellnummer	Gehäusebauform	Farbkennzeichnung
TAA 761	Q67000-A224	5 H 6 (ähnl. TO-78)	
TAA 761 A	Q67000-A522	DIP 6	
TAA 761 G	Q67000-A598 G	Miniaturgeh. 6 Anschl.	weiß/weiß
* TAA 761 GG	Q67000-A598 G 1	Miniaturgeh. 6 Anschl.	weiß/weiß
TAA 761 K	Q67000-A224 K	Mikropackgeh. 6 Anschl.	
TAA 761 W	Q67000-A598	Miniaturgeh. 6 Anschl.	weiß/weiß
TAA 762	Q67000-A523	5 H 6 (ähnl. TO-78)	
TAA 765	Q67000-A226	5 H 6 (ähnl. TO-78)	
TAA 765 A	Q67000-A524	DIP 6	
TAA 765 G	Q67000-A599 G	Miniaturgeh. 6 Anschl.	gelb/gelb
* TAA 765 GG	Q67000-A599 G 1	Miniaturgeh. 6 Anschl.	gelb/gelb
TAA 765 W	Q67000-A599	Miniaturgeh. 6 Anschl.	gelb/gelb



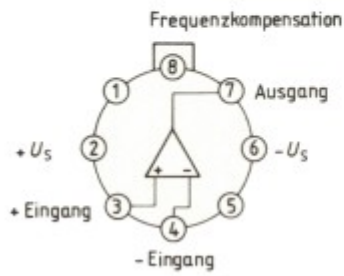
\* Für Neuentwicklung bevorzugt verwenden



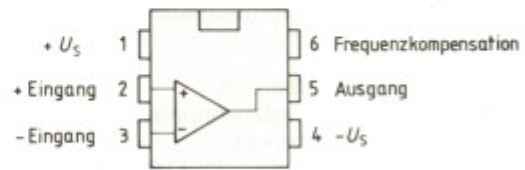
TAA 761 ; A ; G ; GG ; K ; W,  
TAA 762  
TAA 765 ; A ; G ; GG ; W

**Anschlußanordnungen**

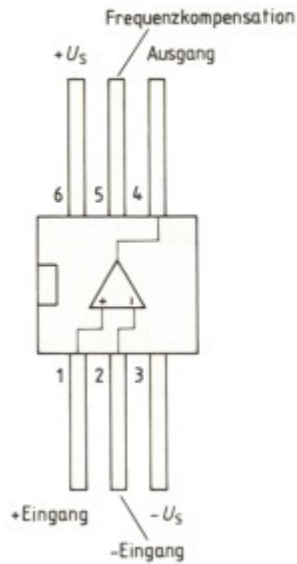
TAA 761  
TAA 762  
TAA 765



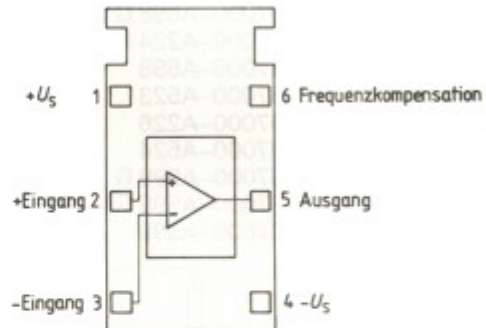
TAA 761 A  
TAA 765 A



TAA 761 G ; GG ; W  
TAA 765 G ; GG ; W



TAA 761 K





TAA 761; A; G; GG; K; W  
TAA 762  
TAA 765; A; G; GG; W

**Grenzdaten**

Speisespannung	$U_S$	±18	V
Ausgangsstrom	$I_Q$	70	mA
Differenz-Eingangsspannung	$U_{ID}$	± $U_S$	V
Sperrschichttemperatur	$T_J$	150	°C
Lagertemperatur	$T_s$	-55 bis 125	°C
Wärmewiderstände			
System-Gehäuse: TAA 761/762/765	$R_{thSG}$	80	K/W
System-Umgebung: TAA 761/762/765	$R_{thSU}$	190	K/W
TAA 761 A/765 A	$R_{thSU}$	140	K/W
TAA 761 W; G; GG; 765 W; G; GG	$R_{thSU}$	200	K/W

**Funktionsbereich**

Speisespannung	$U_S$	±1,5 bis ±18	V
Umgebungstemperatur			
im Betrieb: TAA 761; A; W; G; GG; K	$T_U$	0 bis 70	°C
TAA 765; A; W; G; GG	$T_U$	-25 bis 85	°C
TAA 762	$T_U$	-55 bis 125	°C

Kenndaten	TAA 761 TAA 765 $T_U=25^\circ\text{C}$			TAA 762						
	min	typ	max	$T_U=25^\circ\text{C}$			$T_U=-55$ bis $125^\circ\text{C}$			
$U_S = \pm 15\text{ V}$				min	typ	max	min	max		
Leerlaufstromaufnahme	$I_S$	1,5	2,5		1,5	2,5			mA	
Eingangsnullspg. ( $R_G=50\ \Omega$ )	$U_{I0}$	-6	6	-4	1,5	4	-6	6	mV	
Eingangsnullstrom	$I_{I0}$	-300	±80	300	-100	±50	100	-300	300	nA
Eingangsstrom	$I_I$		0,5	1,0		0,3	0,7		1,0	µA
Ausgangsspannung ( $R_L=2\ \text{k}\Omega$ )	$U_{QSS}$	14,9		-14	14,9		-14	14,8	-14	V
Ausgangsspannung ( $R_L=620\ \Omega$ )	$U_{QSS}$	14,9		-12,5	14,9		-12,5	14,8	-12	V
Ausgangsspannung ( $R_L=2\ \text{k}\Omega$ , $f=100\ \text{kHz}$ )	$U_{QSS}$		±10			±10				V
Eingangsimpedanz ( $f=1\ \text{kHz}$ )	$Z_I$		200			200				kΩ
Leerlauf- Spannungsverstärkung ( $R_L=2\ \text{k}\Omega$ , $f=1\ \text{kHz}$ )	$A_{U0}$	81,5	85	85	87		80			dB
Leerlauf- Spannungsverstärkung ( $R_L=10\ \text{k}\Omega$ , $f=1\ \text{kHz}$ )	$A_{U0}$		90		92					dB
Leerlauf- Spannungsverstärkung ( $R_L=2\ \text{k}\Omega$ , $f=1\ \text{MHz}$ )	$A_{U0}$		43		43					dB
Ausgangssperstrom	$I_{QR}$		1	10		1	10			µA



TAA 761; A; G; GG; K; W  
TAA 762  
TAA 765; A; G; GG; W

Kenndaten $U_S = \pm 15\text{ V}$	TAA 761 TAA 765 $T_U = 25^\circ\text{C}$			TAA 762						
				$T_U = 25^\circ\text{C}$			$T_U = -55^\circ\text{C}$ bis $125^\circ\text{C}$			
	min	typ	max	min	typ	max	min	max		
Eingangsgleichtaktbereich ( $R_L = 2\text{ k}\Omega$ )	$U_{IC}$	12,0	$\pm 14$	-12,0	12,0	$\pm 14$	-12,0			V
Gleichtaktunterdrückung ( $R_L = 2\text{ k}\Omega$ )	$k_{CMR}$	65	79		70	81				dB
Speisespannungsunterdrückung ( $A_U = 100$ )	$k_{SVR}$		25	200		25	200			$\mu\text{V/V}$
Temp.-Koeffizient d. $U_{IO}$ ( $R_G = 50\ \Omega$ )	$\alpha_{U_{IO}}$		6			6	25			$\mu\text{V/K}$
Temp.-Koeffizient d. $I_{IO}$ ( $R_G = 50\ \Omega$ )	$\alpha_{I_{IO}}$		0,3			0,3	1,5			nA/K
Anstiegsgeschw. v. $U_q$ im nicht invert. Betrieb (Meßschaltung 1)	$\frac{du_q}{dtr}$		9			9				V/ $\mu\text{s}$
Anstiegsgeschw. von $U_q$ im invert. Betrieb (Meßschaltung 2)	$\frac{du_q}{dtr}$		18			18				V/ $\mu\text{s}$
Rauschspannung (nach DIN 45405; auf Eingang bezogen; $R_S = 2,5\text{ k}\Omega$ )	$U_{IR}$		3			3				$\mu\text{V}$
<b>Kenndaten</b> $U_S = \pm 5\text{ V}$										
Leerlaufstromaufnahme	$I_S$		0,7			0,7				mA
Eingangsnullspannung	$U_{IO}$	-6		6	-4		4			mV
Eingangsnullstrom	$I_{IO}$	-300		300	-70		70			nA
Eingangsstrom	$I_I$			1,0			0,6			$\mu\text{A}$
Ausgangsspannung ( $R_L = 2\text{ k}\Omega$ )	$U_{Oss}$	4,9		-4	4,9		-4	4,8	-4	V
Leerlaufspannungsverstärkung ( $R_L = 2\text{ k}\Omega$ , $f = 1\text{ kHz}$ )	$A_{U0}$	70			70					dB